

บทที่ 4

ผลการวิจัย

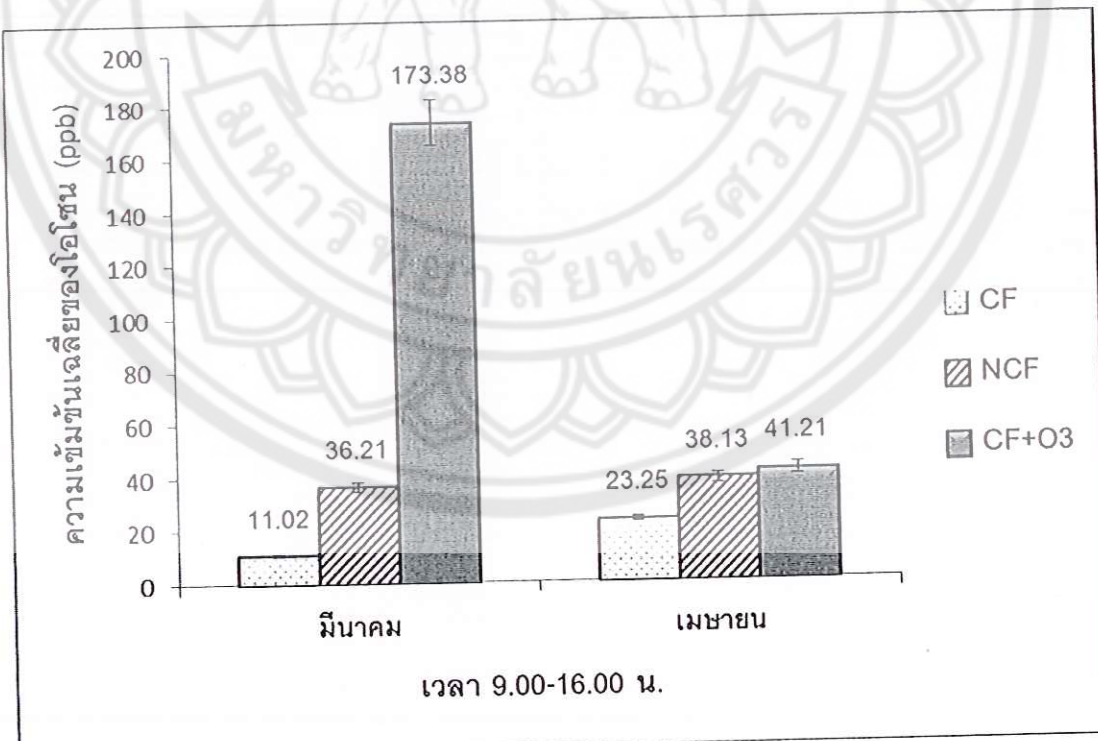
การศึกษาผลกระทบจากการเพิ่มขึ้นของไอโอดีนต่อสัณฐานวิทยาและกายวิภาคของปลาดุก
เหลืองพันธุ์เชียงใหม่ 60 ต่อระดับความเข้มข้นของไอโอดีนที่แตกต่างกันทั้ง 3 ชุดทดลอง
คือ ความเข้มข้นไอโอดีนต่ำกว่าธรรมชาติ (CF) ความเข้มข้นไอโอดีนเท่าธรรมชาติ (ชุดควบคุม,
NCF) และความเข้มข้นไอโอดีนสูงกว่าธรรมชาติ ($CF^{+0.3}$) โดยทำการพ่นวันละ 7 ชั่วโมง และเก็บ
ข้อมูลตามระยะเวลาเจริญเติบโตทั้งหมด 6 ระยะคือ ระยะที่มีไปประกอบสองใบ (V2) ระยะที่มีไป
ประกอบสี่ใบ (V4) ระยะเริ่มออกดอก (R1) ระยะเริ่มติดฝัก (R3) ระยะเริ่มติดเมล็ด (R5) และ⁺
ระยะเริ่มเก็บเกี่ยว (R8) แสดงรายละเอียดข้อมูลปัจจัยด้านการเจริญเติบโต สัณฐานและกายวิภาค
ของปลาดุกนี้

ปัจจัยทางกายภาพ

ปัจจัยทางกายภาพในขณะที่ทำการศึกษา มีการเก็บข้อมูลปริมาณความเข้มข้นของ
ไอโอดีนในช่วงเดือนมีนาคมถึงเมษายน 2554 แสดงค่าความเข้มข้นเฉลี่ยดังภาพ 4 พบร้าสามารถ
ควบคุมระดับความเข้มข้นของไอโอดีนได้จริง โดยในชุดทดลองที่ไอโอดีนสูงกว่าระดับธรรมชาติ ไอโอดีน
เทียบเท่าธรรมชาติ และไอโอดีนต่ำกว่าธรรมชาติ มีระดับความเข้มข้นเฉลี่ย 107.3 ppb, 37.2 ppb
และ 17.1 ppb ตามลำดับ ส่วนปริมาณความเข้มข้นของคาร์บอนไดออกไซด์ อุณหภูมิ และความ
ชื้นแสง มีการเก็บข้อมูลในช่วงเดือนมกราคมถึงมีนาคม 2554 พบร้าความเข้มข้นของ
คาร์บอนไดออกไซด์ ในชุดทดลองที่ความเข้มข้นไอโอดีนต่ำกว่าธรรมชาติ เทียบเท่าธรรมชาติ และสูง
กว่าธรรมชาติ มีค่าเฉลี่ย 381.7 ppb, 371.2 ppb และ 374.5 ppb ตามลำดับ ค่าอุณหภูมิเฉลี่ย
เท่ากับ 32.8°C , 32.7°C และ 33.7°C ตามลำดับ ความชื้นแสง มีค่าเฉลี่ย 59,849.4 lux,
58,070.4 lux และ 59,752.2 lux ตามลำดับ (ตาราง 4)

ตาราง 4 ปัจจัยทางกายภาพที่ทำการวัดขณะทดลอง (มกราคม-มีนาคม 2554)

ปัจจัยทาง		ระดับความเข้มข้นของไอโซน		
กายภาพ	เดือน	ต่ำกว่าธรรมชาติ	เทียบเท่าธรรมชาติ	สูงกว่าธรรมชาติ
ความเข้มข้น	มกราคม	326.22	326.41	326.50
CO ₂ (ppb)	กุมภาพันธ์	413.91	397.88	394.66
	มีนาคม	404.97	389.19	402.34
อุณหภูมิ	มกราคม	31.38	30.84	32.63
(°C)	กุมภาพันธ์	34.19	34.00	33.81
	มีนาคม	32.69	33.25	34.63
ความเข้มแสง	มกราคม	57,791.88	55,809.38	56,562.50
(Lux)	กุมภาพันธ์	61,837.50	57,655.00	60,603.13
	มีนาคม	59,918.75	60,746.88	62,090.94



ภาพ 14 ความเข้มข้นเฉลี่ยของไอโซนในช่วงระยะเวลาการวิจัย

ผลกระทบของโอดีซันต่อการเจริญเติบโตของถั่วเหลือง

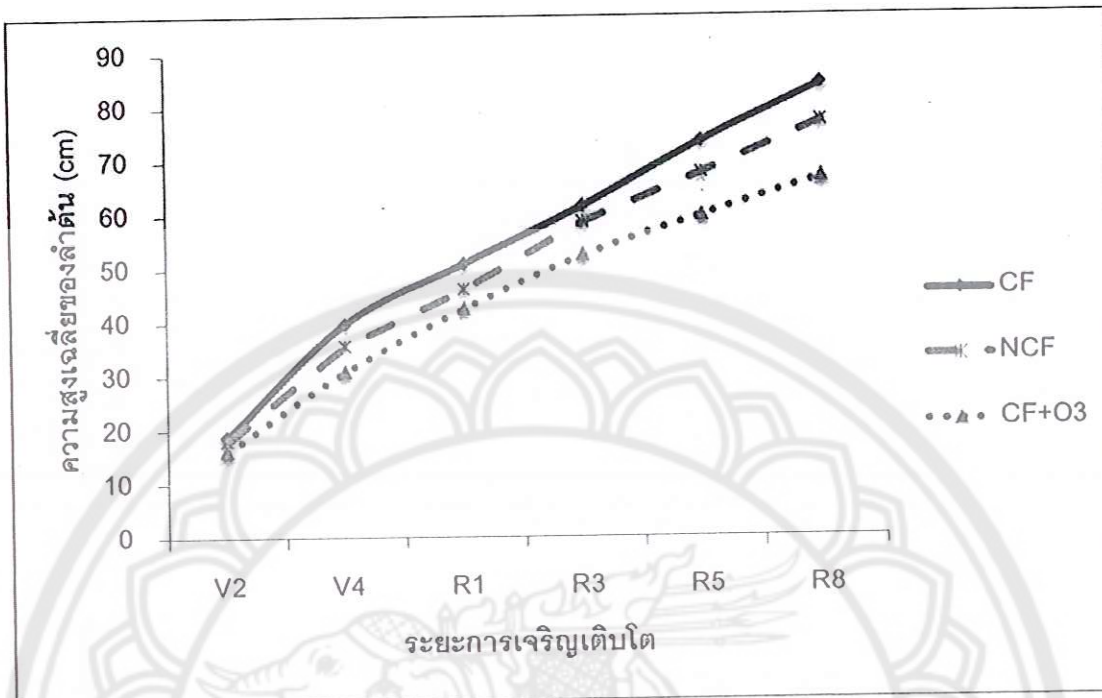
1. ความสูงของลำต้น (Stem height)

เมื่อพิจารณาจากระดับความสูงของต้นถั่วเหลืองพันธุ์เชียงใหม่ 60 ที่มีการตอบสนองต่อโอดีซัน พบว่าโอดีซันเริ่มส่งผลกระทบต่อความสูงของลำต้นในช่วงระยะเริ่มติดฝัก (R3) จนถึงระยะเก็บเกี่ยว (R8) ทั้งนี้ในระยะเริ่มติดฝัก ความสูงของลำต้นเมื่อวัดจากระดับพื้นดินเพิ่งปลายยอดในชุดทดลองที่ความเข้มข้นโอดีซันสูงกว่าธรรมชาติ มีค่าเฉลี่ยลดลง 10.46% เมื่อเปรียบเทียบกับชุดควบคุม (NCF) โดยมีความสูงเฉลี่ยลดลงเป็น 9.2, 13.8 และ 17.5 เซนติเมตร ตามลำดับ เมื่อเปรียบเทียบกับชุดที่ความเข้มข้นโอดีซันต่ำกว่าธรรมชาติ (ตาราง 5) จากการวิเคราะห์แนวโน้มความสูงของถั่วเหลือง พบว่า ทุกความเข้มข้นของโอดีซันในแต่ละระดับ มีแนวโน้มเพิ่มขึ้นในทุกระยะการเจริญเติบโต (ภาพ 15) ซึ่งสามารถบ่งบอกว่า ถั่วเหลืองได้รับปัจจัยที่ช่วยส่งเสริมการเจริญเติบโตของลำต้นในปริมาณที่เพียงพอ ข้อมูลความสูงที่ได้จึงเป็นผลกระทบที่เกิดจากโอดีซันโดยตรง

ตาราง 5 ความสูงเฉลี่ยลำต้น ของถั่วเหลืองพันธุ์เชียงใหม่ 60

ระยะการเจริญเติบโต	ความสูงเฉลี่ยของลำต้น (เซนติเมตร)			การลดลงและเพิ่มขึ้น ของความสูงเฉลี่ยเมื่อ เทียบกับชุดควบคุม (เปอร์เซ็นต์)	
	CF	NCF	CF ⁺⁰³	CF	CF ⁺⁰³
V2	18.82 _a ^{±2.74}	17.89 _a ^{±2.67}	16.14 _a ^{±2.79}	+5.20	-9.78
V4	39.86 _a ^{±2.57}	35.72 _{ab} ^{±4.20}	30.87 _b ^{±2.90}	+11.60	-13.58
R1	50.98 _a ^{±1.81}	46.14 _b ^{±2.84}	42.58 _b ^{±1.18}	+10.49	-7.72
R3	61.60 _a ^{±0.64}	58.53 _b ^{±0.27}	52.41 _c ^{±1.58}	+5.25	-10.46
R5	73.67 _a ^{±2.08}	67.74 _b ^{±1.79}	59.84 _c ^{±2.35}	+8.75	-11.66
R8	84.22 _a ^{±2.21}	77.14 _b ^{±0.33}	66.79 _c ^{±2.72}	+9.18	-13.42

หมายเหตุ: ตัวอักษร a - c แสดงค่าเฉลี่ยที่มีความแตกต่างกันอย่างมีนัยสำคัญทางสถิติ $P \leq 0.05$
+ ค่าเฉลี่ยเพิ่มขึ้น, - ค่าเฉลี่ยลดลง



ภาพ 15 แนวโน้มความสูงเฉลี่ยของลำต้นถั่วเหลืองพันธุ์เชียงใหม่ 60

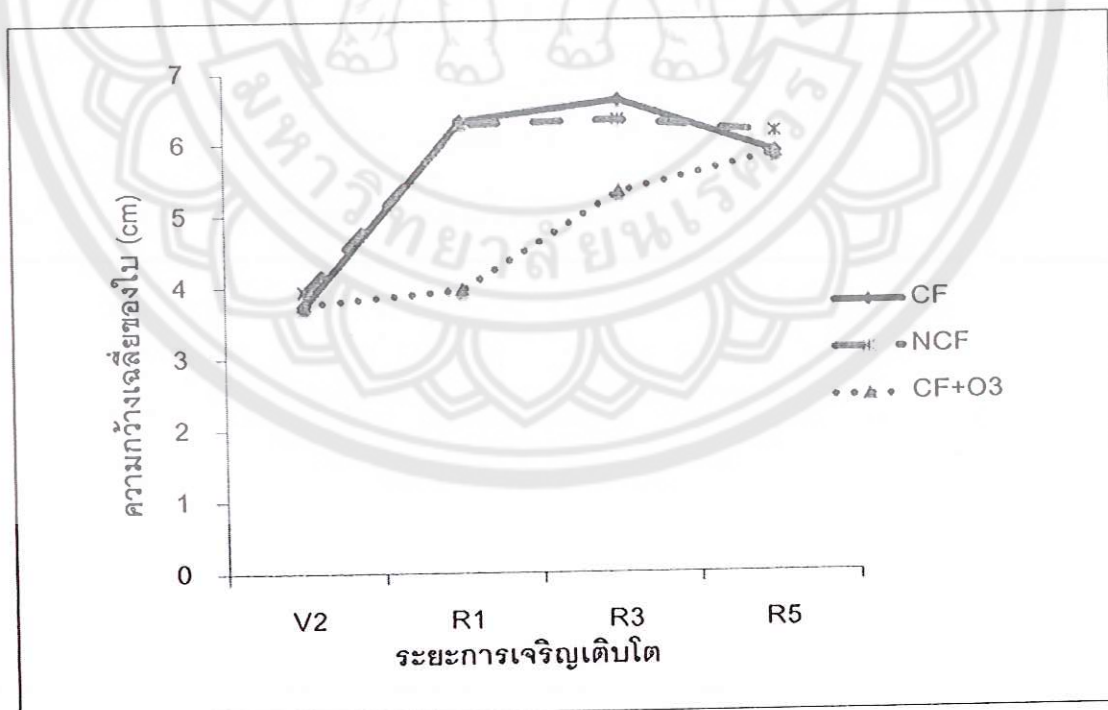
2. ความกว้างของใบ (Leaf width)

เมื่อพิจารณาจากตาราง 6 พบว่า ความกว้างเฉลี่ยของใบถั่วเหลืองพันธุ์เชียงใหม่ 60 ที่ได้รับผลกระทบจากโคลน ลดลงอย่างมีนัยสำคัญทางสถิติ ตั้งแต่ระยะเริ่มออกดอก (R1) จนถึงระยะเริ่มติดฝัก (R3) มีค่าเฉลี่ยลดลง 36.94% และ 15.82% ตามลำดับ เมื่อเปรียบเทียบกับชุดควบคุม โดยเฉพาะในระยะเริ่มออกดอก ความกว้างเฉลี่ยของใบที่ได้รับโคลนความเข้มข้นสูงกว่า ชุดควบคุม มีค่าลดลง 2.3 เซนติเมตร หรือแคนบกว่าใบปกติประมาณหนึ่งเท่า และจากการวิเคราะห์ความกว้างเฉลี่ยของใบถั่วเหลืองตามระยะการเจริญเติบโต พบว่า ทุกความเข้มข้นของโคลนในแต่ละระดับ มีแนวโน้มเพิ่มขึ้น ตั้งแต่ระยะที่เริ่มมีใบประกอบสองใบ และเริ่มลดลงในระยะเริ่มติดฝัก (ภาพ 16) ซึ่งเป็นระยะที่เริ่มมีการสะสมสารอาหารเพื่อใช้ในการพัฒนาของฝัก ถั่วเหลืองจะเริ่มลดการเจริญเติบโตทั้งทางลำต้นและใบ

ตาราง 6 ความกว้างเฉลี่ยของใบถั่วเหลืองพันธุ์เชียงใหม่ 60

ระยะการเจริญเติบโต	ความกว้างเฉลี่ยของใบ (เซนติเมตร)			การลดลงและเพิ่มขึ้น ของความกว้างเฉลี่ยใบ เมื่อเทียบกับชุดควบคุม (เปอร์เซ็นต์)	
	CF	NCF	CF ⁺⁰³	CF	CF ⁺⁰³
V2	3.74±0.41 ^a	3.94±0.51 ^a	3.77±0.39 ^a	- 5.08	- 4.31
R1	6.33±0.29 ^a	6.28±0.10 ^a	3.96±0.11 ^b	+ 0.80	- 36.94
R3	6.60±0.05 ^a	6.32±0.17 ^a	5.32±1.16 ^b	+ 4.43	- 15.82
R5	5.87±0.19 ^a	6.15±0.18 ^a	5.85±0.18 ^a	- 4.55	- 4.88

หมายเหตุ: ตัวอักษร a - c แสดงค่าเฉลี่ยที่มีความแตกต่างกันอย่างมีนัยสำคัญทางสถิติ $P \leq 0.05$
+ ค่าเฉลี่ยเพิ่มขึ้น, - ค่าเฉลี่ยลดลง



ภาพ 16 แนวโน้มความกว้างเฉลี่ยของใบถั่วเหลืองพันธุ์เชียงใหม่ 60

3. ความยาวของใบ (Leaf length)

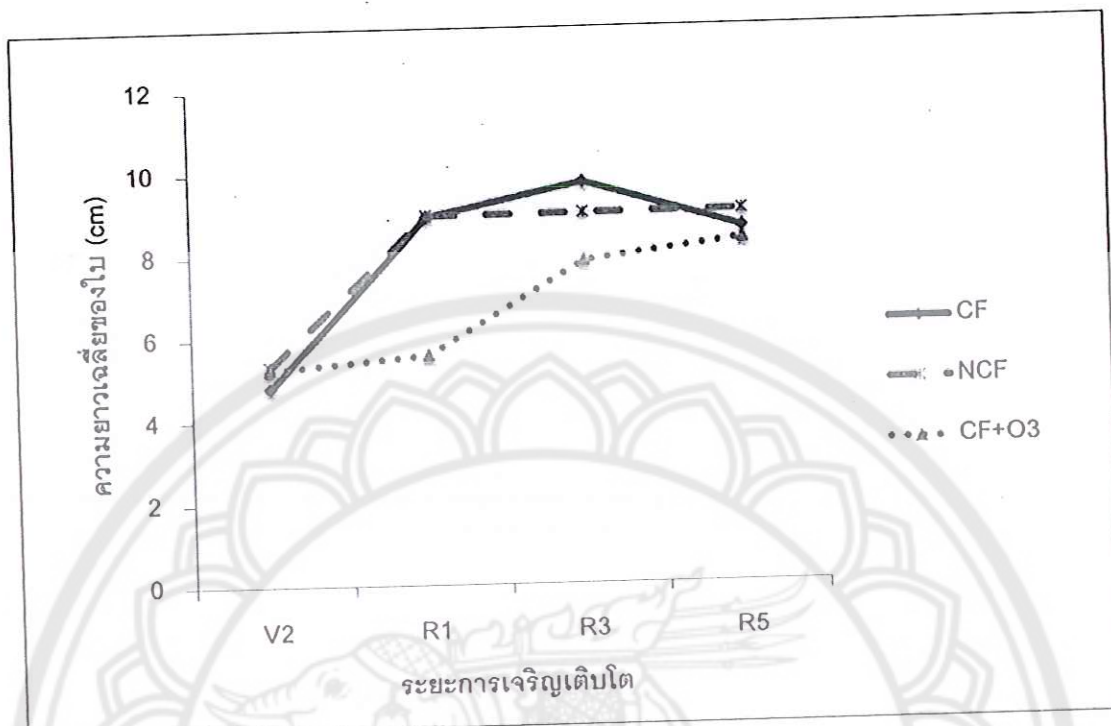
ความยาวเฉลี่ยของใบถั่วเหลืองพันธุ์เชียงใหม่ 60 ที่ได้รับผลกระทบจากโควิด เมื่อพิจารณาค่าดังตาราง 7 พบว่า โควิดส่งผลให้ความยาวเฉลี่ยของใบลดลงอย่างมีนัยสำคัญทางสถิติ ที่ระยะเริ่มออกดอก (R1) โดยในชุดทดลองที่ความเข้มข้นโควิดสูงกว่าธรรมชาติ มีค่าเฉลี่ยลดลง 39.94% เมื่อเปรียบเทียบกับชุดควบคุม จากภาพ 17 พบว่า ค่าความยาวเฉลี่ยของใบตามระยะการเจริญเติบโต มีแนวโน้มเพิ่มขึ้น ตั้งแต่ระยะที่เริ่มมีใบประกอบสองใบ และเริ่มลดลงในระยะเริ่มติดฝัก ในทุกระดับความเข้มข้นของโควิด ซึ่งสอดคล้องกับความก้าวหน้าของความเจริญของใบถั่วเหลือง เมื่อพิจารณาค่าเฉลี่ยความก้าวหน้าและความยาวของใบอย่างละเอียด สามารถบอกได้ว่า ในของถั่วเหลืองจะมีขนาดเล็กลงเมื่อได้รับโควิดที่มีความเข้มข้นเพิ่มขึ้น

ตาราง 7 ความยาวเฉลี่ยของใบถั่วเหลืองพันธุ์เชียงใหม่ 60

ระยะการเจริญเติบโต	ความยาวเฉลี่ยของใบ (เซนติเมตร)			การลดลงและเพิ่มขึ้น ของความยาวเฉลี่ยใบ เมื่อเทียบกับชุดควบคุม (เปอร์เซ็นต์)		
	CF	NCF	CF ⁺⁰³	CF	CF ⁺⁰³	
V2	4.82±0.82 ^a	5.33±0.82 ^a	5.26±0.60 ^a	- 9.57	- 1.31	
R1	8.93±0.40 ^a	8.95±0.09 ^a	5.58±0.18 ^b	- 0.22	- 37.65	
R3	9.73±0.81 ^a	8.99±0.18 ^a	7.83±1.50 ^a	+ 8.23	- 12.90	
R5	8.61±0.16 ^a	9.00±0.27 ^{ab}	8.33±0.27 ^b	- 4.33	- 7.44	

หมายเหตุ: ตัวอักษร a - c แสดงค่าเฉลี่ยที่มีความแตกต่างกันอย่างมีนัยสำคัญทางสถิติ $P \leq 0.05$

+ ค่าเฉลี่ยเพิ่มขึ้น, - ค่าเฉลี่ยลดลง



ภาพ 17 แนวโน้มความขาวเฉลี่ยของใบถั่วเหลืองพันธุ์เชียงใหม่ 60

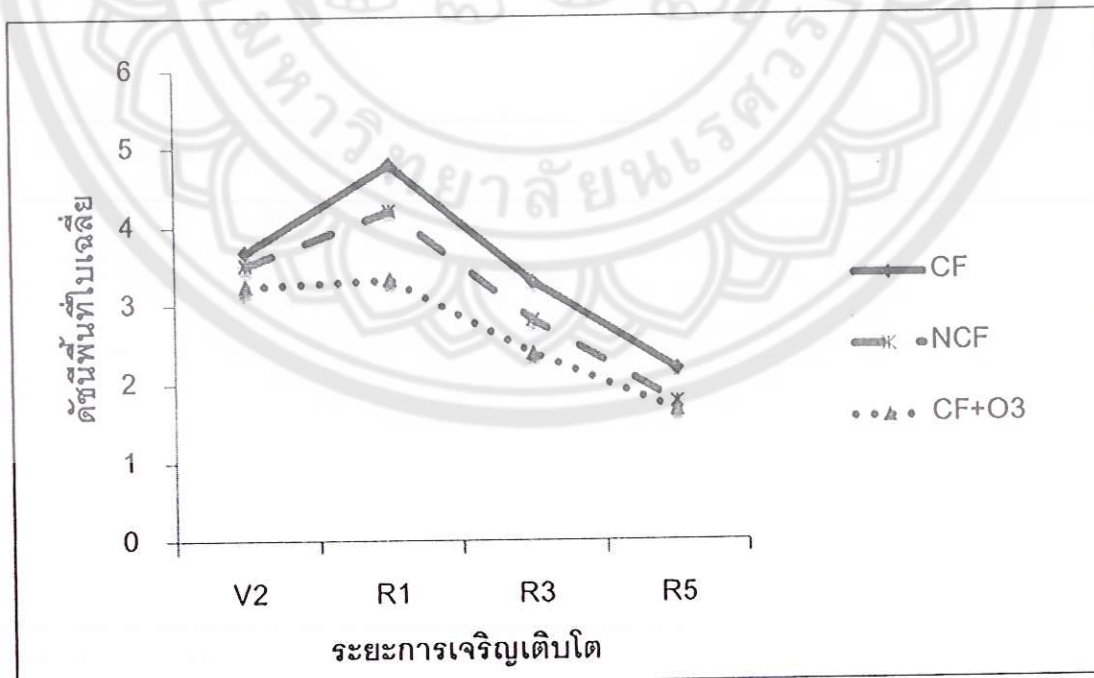
4. ดัชนีพื้นที่ใบ (Leaf area index)

เมื่อคำนวณค่าดัชนีพื้นที่ใบด้วยสมการ $LAI = (0.74 \times LW)/G$ แสดงค่าดังตาราง 8 พบว่า ค่าดัชนีพื้นที่ใบเฉลี่ยของถั่วเหลืองพันธุ์เชียงใหม่ 60 ที่ได้รับโไฮโซน ลดลงตั้งแต่ระยะเริ่มออกดอกจนถึงระยะเริ่มติดเมล็ด มีค่าเฉลี่ยลดลง 20.27%, 15.05 % และ 5.14% ตามลำดับ เมื่อเปรียบเทียบกับชุดควบคุม จากภาพ 18 เมื่อวิเคราะห์ค่าเฉลี่ยดัชนีพื้นที่ใบตามระยะการเจริญเติบโต มีแนวโน้มลดลง ตั้งแต่ระยะเริ่มออกดอกเข้าเดียว กัน ซึ่งสอดคล้องกับขนาดของใบที่เล็กลง แต่พื้นที่ทรงพูมไม่ได้มีค่ามากขึ้น (กิ่งและก้านของใบไม่ได้รับผลกระทบจากโไฮโซน ขนาดทรงพูมจึงไม่ได้เล็กลง) ทำให้ค่าดัชนีพื้นที่ใบที่ได้รับผลกระทบจากโไฮโซน มีค่าเฉลี่ยลดลง

ตาราง 8 ดัชนีพื้นที่ใบเฉลี่ยของถัวเหลืองพันธุ์เชียงใหม่ 60

ระยะการเจริญเติบโต	ดัชนีพื้นที่ใบ			การลดลงและเพิ่มขึ้นของดัชนีพื้นที่ใบเฉลี่ยเมื่อเทียบกับชุดควบคุม (เปอร์เซ็นต์)	
	CF	NCF	CF ^{+O3}	CF	CF ^{+O3}
V2	3.68±0.63 ^a	3.50±1.17 ^a	3.24±1.07 ^a	+ 5.14	- 7.43
R1	4.78±0.33 ^a	4.19±0.26 ^a	3.32±0.12 ^c	+ 14.08	- 20.76
R3	3.30±0.27 ^a	2.79±0.08 ^{ab}	2.37±0.36 ^b	+ 18.28	- 15.05
R5	2.18±0.38 ^a	1.75±0.03 ^{ab}	1.66±0.05 ^b	+ 24.57	- 5.14

หมายเหตุ: ตัวอักษร a - c แสดงค่าเฉลี่ยที่มีความแตกต่างกันอย่างมีนัยสำคัญทางสถิติ $P \leq 0.05$
+ ค่าเฉลี่ยเพิ่มขึ้น, - ค่าเฉลี่ยลดลง



ภาพ 18 แนวโน้มดัชนีพื้นที่ใบเฉลี่ยของถัวเหลืองพันธุ์เชียงใหม่ 60

ผลกระทบของโโคไซน์ต่อสัณฐานวิทยาของใบตัวเหลือง

1. ปริมาณรงค์วัตถุในใบ (Pigment content)

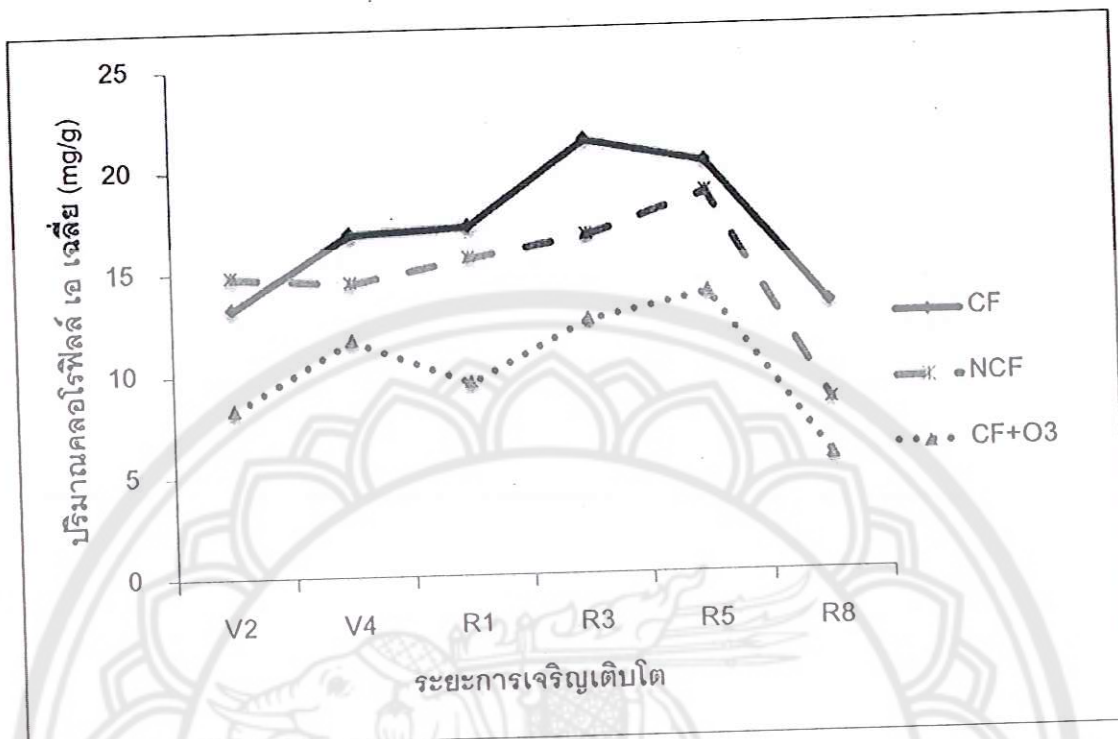
1.1 คลอโรฟิลล์ เอ (Chlorophyll a)

เมื่อพิจารณาค่าปริมาณคลอโรฟิลล์ เอ เฉลี่ย จากตาราง 9 ที่มีการตอบสนองต่อโโคไซน์ในทุกระยะการเจริญเติบโต พบร่วม ดังแต่ระยะเริ่มออกดอกออกบานถึงระยะเก็บเกี่ยว ปริมาณคลอโรฟิลล์ เอ มีค่าลดลง 64.44%, 25.18%, 26.56% และ 32.33% ตามลำดับ เมื่อเปรียบเทียบกับชุดควบคุม นอกจากนี้ยังมีค่าเฉลี่ยลดลงจากใบปกติที่ไม่ได้รับโโคไซน์ 9.5, 8.8, 7.5 และ 7.5 มิลลิกรัมต่อกิโลกรัม ตามลำดับ เมื่อวิเคราะห์ค่าปริมาณคลอโรฟิลล์ เอ เฉลี่ย ตามระยะการเจริญเติบโต (ภาพ 19) สามารถอธิบายได้ว่า มีแนวโน้มเพิ่มขึ้น ในช่วงแรกของการเจริญเติบโต และเริ่มลดลง หลังจากช่วงระยะที่เริ่มมีการพัฒนาของเมล็ดในฝัก

ตาราง 9 ปริมาณคลอโรฟิลล์ เอ เฉลี่ย ของตัวเหลืองพันธุ์เชียงใหม่ 60

ระยะการเจริญเติบโต	ปริมาณคลอโรฟิลล์ เอ เฉลี่ย (มิลลิกรัมต่อกิโลกรัม)			การลดลงและเพิ่มขึ้น ของปริมาณคลอโรฟิลล์ เอ เฉลี่ย เมื่อเทียบกับชุดควบคุม (เปอร์เซ็นต์)	
	CF	NCF	CF ⁺⁰³	CF	CF ⁺⁰³
V2	13.24±0.49 ^a	14.79±5.23 ^{ab}	8.25±0.68 ^b	- 10.48	- 44.22
V4	16.84±1.19 ^a	14.41±1.05 ^{ab}	11.59±2.04 ^b	+ 16.86	- 19.57
R1	17.13±0.84 ^a	15.54±0.87 ^a	9.45±0.98 ^b	+ 10.23	- 64.44
R3	21.25±1.00 ^a	16.60±1.14 ^b	12.42±1.62 ^c	+ 28.01	- 25.18
R5	20.15±0.36 ^a	18.64±0.81 ^a	13.69±2.42 ^b	+ 8.10	- 26.56
R8	13.11±0.95 ^a	8.29±0.26 ^b	5.61±1.23 ^c	+ 58.14	- 32.33

หมายเหตุ: ตัวอักษร a - c แสดงค่าเฉลี่ยที่มีความแตกต่างกันอย่างมีนัยสำคัญทางสถิติ $P \leq 0.05$
+ ค่าเฉลี่ยเพิ่มขึ้น, - ค่าเฉลี่ยลดลง



ภาพ 19 แนวโน้มปริมาณคลอโรฟิลล์ บี เฉลี่ย ของถั่วเหลืองพันธุ์เชียงใหม่ 60

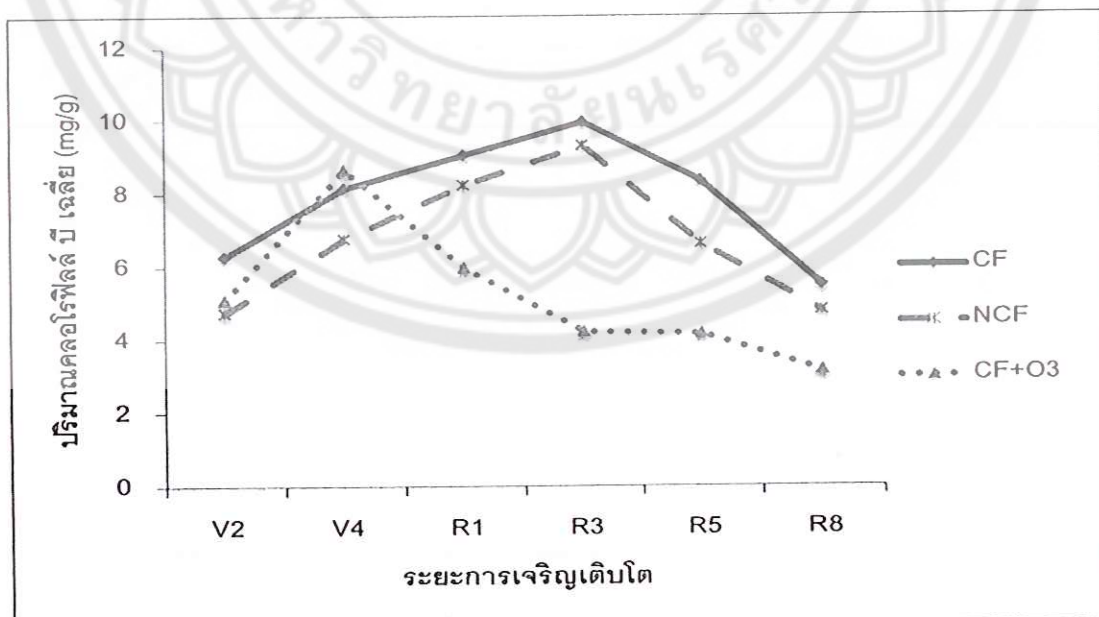
1.2 คลอโรฟิลล์ บี (Chlorophyll b)

เมื่อพิจารณาข้อมูลจากตาราง 10 พบร่วมกันว่า ความเข้มข้นของโอดีโซนที่สูงกว่า ธรรมชาติ ส่งผลให้ปริมาณคลอโรฟิลล์ บี เฉลี่ย ตั้งแต่ระยะเริ่มออกดอกจนถึงระยะเริ่มเก็บเกี่ยว มีค่าลดลง 27.28%, 54.72%, 59.14% และ 34.10% ตามลำดับ เมื่อเปรียบเทียบกับชุดควบคุม ซึ่งมีค่าเฉลี่ยลดลงจากใบปกติที่ไม่ได้รับโอดีโซน 3.1, 5.8, 4.2 และ 2.3 มิลลิกรัมต่อกรัม หรือมีปริมาณคลอโรฟิลล์ บี ลดลงประมาณครึ่งหนึ่งจากใบปกติที่ไม่ได้รับโอดีโซน จากภาพ 19 เมื่อวิเคราะห์ค่าปริมาณคลอโรฟิลล์ บี เฉลี่ย ตามระยะการเจริญเติบโต พบร่วมกันว่า มีแนวโน้มลดลงหลังจากที่มีการติดเมล็ด ซึ่งเป็นระยะที่เริ่มมีการสะสมสารอาหารในเมล็ดของถั่วเหลือง ไปของถั่วเหลืองเริ่มแก่ และลดการเจริญเติบโต

ตาราง 10 ปริมาณคลอโรฟิลล์ บี เฉลี่ย ของถั่วเหลืองพันธุ์เชียงใหม่ 60

ระยะการเจริญเติบโต	ปริมาณคลอโรฟิลล์ บี เฉลี่ย (มิลลิกรัมต่อกรัม)			การลดลงและเพิ่มขึ้น ของปริมาณคลอโรฟิลล์ บี เฉลี่ย เมื่อเทียบกับ ชุดควบคุม (เปอร์เซ็นต์)	
	CF	NCF	CF ^{+O3}	CF	CF ^{+O3}
V2	6.27±0.97 ^a	4.74±0.12 ^{ab}	5.10±0.48 ^b	+ 32.28	+ 7.59
V4	8.16±1.02 ^a	6.77±1.55 ^a	8.66±1.78 ^a	+ 20.53	+ 27.92
R1	9.04±0.38 ^a	8.22±1.21 ^a	5.98±1.33 ^b	+ 9.98	- 27.26
R3	9.97±1.59 ^a	9.32±1.36 ^a	4.22±1.53 ^b	+ 6.97	- 54.72
R5	8.35±0.32 ^a	6.62±2.22 ^{ab}	4.16±1.48 ^b	+ 32.28	+ 7.59
R8	5.49±0.68 ^a	4.78±0.24 ^a	3.15±0.89 ^b	+ 14.85	- 34.10

หมายเหตุ: ตัวอักษร a - c แสดงค่าเฉลี่ยที่มีความแตกต่างกันอย่างมีนัยสำคัญทางสถิติ $P \leq 0.05$
+ ค่าเฉลี่ยเพิ่มขึ้น, - ค่าเฉลี่ยลดลง



ภาพ 20 แนวโน้มปริมาณคลอโรฟิลล์ บี เฉลี่ย ของถั่วเหลืองพันธุ์เชียงใหม่ 60

1.3 แครอทีนอยด์ (Carotenoid)

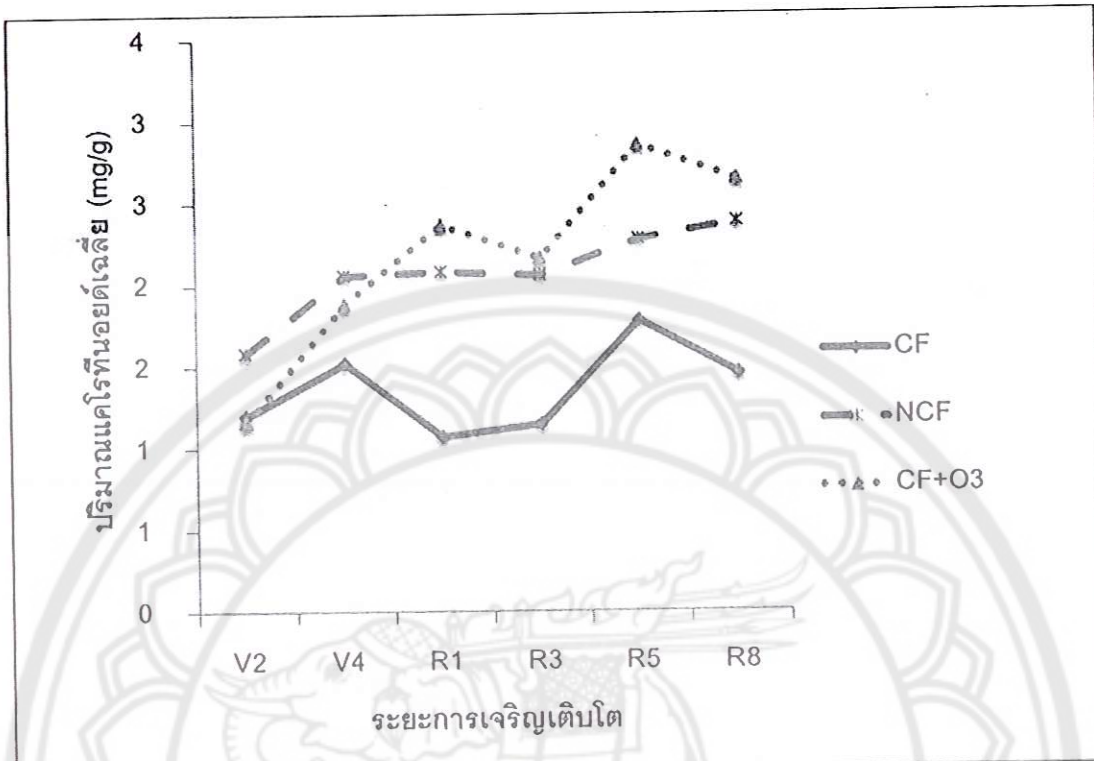
จากตาราง 11 พบร่วมกันว่า ความเข้มข้นของโอลิโนที่สูงกว่าธรรมชาติ ตั้งแต่ระยะเริ่มออกดอกจนถึงระยะเก็บเกี่ยว มีปริมาณแครอทีนอยด์เฉลี่ย เพิ่มขึ้น 13.94%, 4.85%, 25.44% และ 11.35% ตามลำดับ เมื่อเปรียบเทียบกับชุดควบคุม เมื่อพิจารณาปริมาณแครอทีนอยด์เฉลี่ย ตามระยะการเจริญเติบโต มีแนวโน้มเพิ่มขึ้นตามระยะการเจริญเติบโต (ภาพ 21) โดยเฉพาะอย่างยิ่งในถัวเหลืองที่ได้รับโอลิโนที่ความเข้มข้นเทียบเท่าธรรมชาติและสูงกว่าธรรมชาติ มีแนวโน้มของค่าเฉลี่ยเพิ่มขึ้นอย่างต่อเนื่อง แสดงถึงการลดลงของปริมาณคลอโรฟิลล์ เอ และคลอโรฟิลล์ บี

ตาราง 11 ปริมาณแครอทีนอยด์เฉลี่ยของถัวเหลืองพันธุ์เชียงใหม่ 60

ระยะการเจริญเติบโต	ปริมาณแครอทีนอยด์เฉลี่ย (มิลลิกรัมต่อกิโลกรัม)			การลดลงและเพิ่มขึ้น ของปริมาณแครอทีนอยด์เฉลี่ย เมื่อเทียบ กับชุดควบคุม (เปอร์เซ็นต์)	
	CF	NCF	CF ⁺⁰³	CF	CF ⁺⁰³
V2	1.20±0.06 ^b	1.58±0.10 ^a	1.17±0.28 ^b	- 24.05	- 25.95
V4	1.52±0.08 ^b	2.06±0.07 ^a	1.88±0.15 ^a	- 26.21	- 8.74
R1	1.07±0.02 ^c	2.08±0.14 ^b	2.37±0.17 ^a	- 48.56	+ 13.94
R3	1.15±0.13 ^b	2.06±0.05 ^a	2.16±0.23 ^a	- 44.18	+ 4.85
R5	1.78±0.07 ^c	2.28±0.18 ^b	2.86±0.16 ^a	- 21.93	+ 25.44
R8	1.46±0.28 ^b	2.38±0.18 ^a	2.65±0.08 ^a	- 38.66	+ 11.35

หมายเหตุ: ตัวอักษร a - c แสดงค่าเฉลี่ยที่มีความแตกต่างกันอย่างมีนัยสำคัญทางสถิติ $P \leq 0.05$

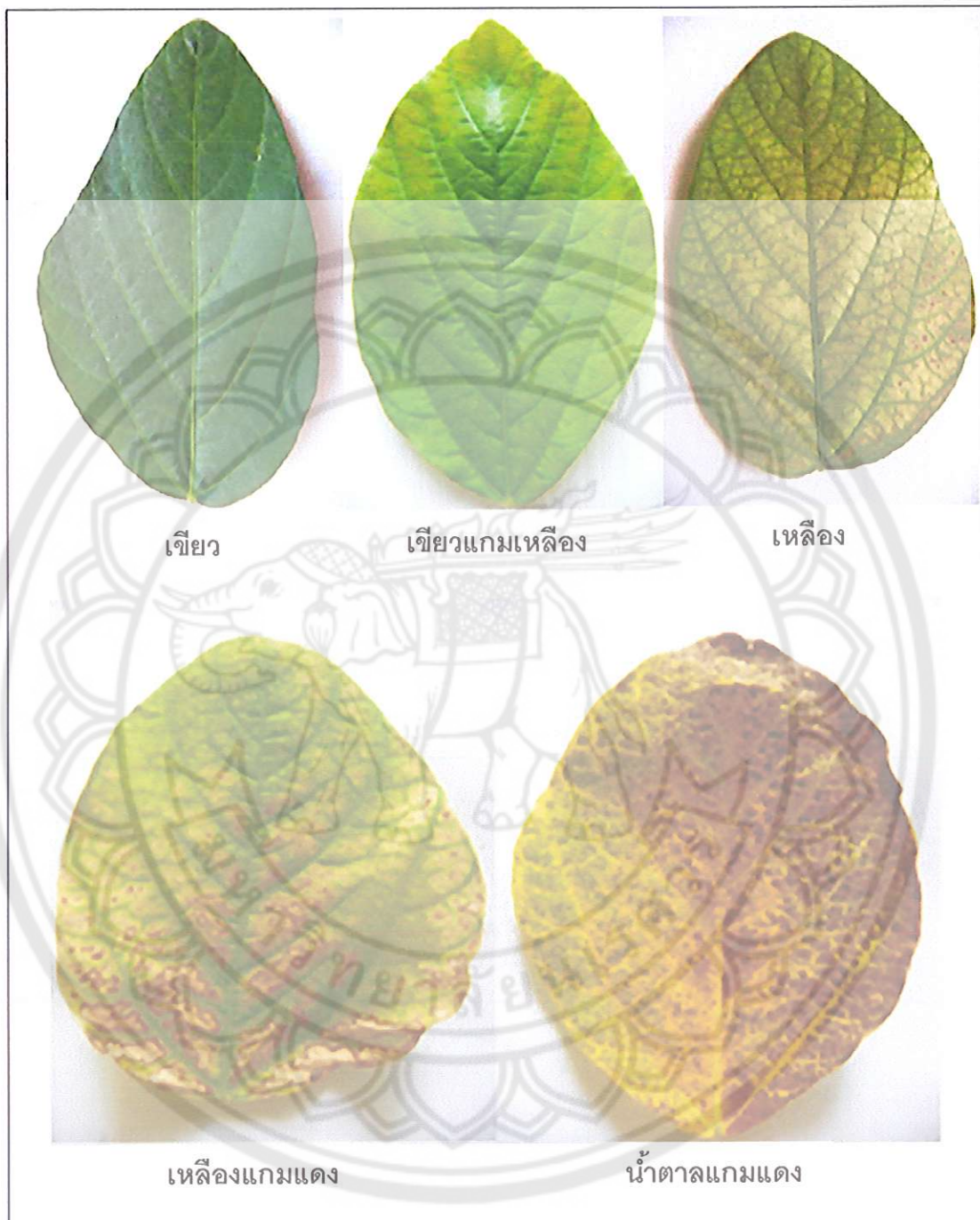
+ ค่าเฉลี่ยเพิ่มขึ้น, - ค่าเฉลี่ยลดลง



ภาพ 21 แนวโน้มปริมาณแครอทินอยด์เฉลี่ยของถั่วเหลืองพันธุ์เชียงใหม่ 60

2. สีของใบ (Leaf Color)

ในถั่วเหลืองที่ได้รับผลกระทบจากออกซิเจน เมื่อทำการสูญเสียตัวอย่างใบจำนวน 30 ใบ และแบ่งตามสีของใบถั่วเหลืองที่ได้รับผลกระทบจากออกซิเจน ตามวิธีของ Mikkelsen and Jorgensen (1996) ได้ 5 ระดับ ดังนี้ คือ เขียว (green), เขียวแกมเหลือง (yellowish green), เหลือง (yellow), เหลืองแกมแดง (reddish yellow) และน้ำตาลแดง (reddish brown) (ภาพ 22) หากค่าเปอร์เซ็นต์การปรากฏสีของใบถั่วเหลืองทั้งหมด (ตาราง 12) พบร่วมกับของถั่วเหลืองที่ได้รับผลกระทบจากออกซิเจนในระยะเริ่มมีใบประกอบสองใบจนถึงระยะเริ่มเก็บเกี่ยว มีแนวโน้มของสีที่เปลี่ยนไปตามระดับความเข้มข้นของออกซิเจนที่เพิ่มขึ้น คือ ที่ความเข้มข้นออกซิเจนต่ำกว่าธรรมชาติใบมีสีเขียว ที่ความเข้มข้นออกซิเจนเท่าธรรมชาติ ใบเปลี่ยนจากสีเขียวเป็นสีเขียวแกมเหลือง และที่ความเข้มข้นออกซิเจนสูงกว่าธรรมชาติ ใบเปลี่ยนจากสีเขียวเป็นสีเหลืองแกมแดง (ภาพ 23)



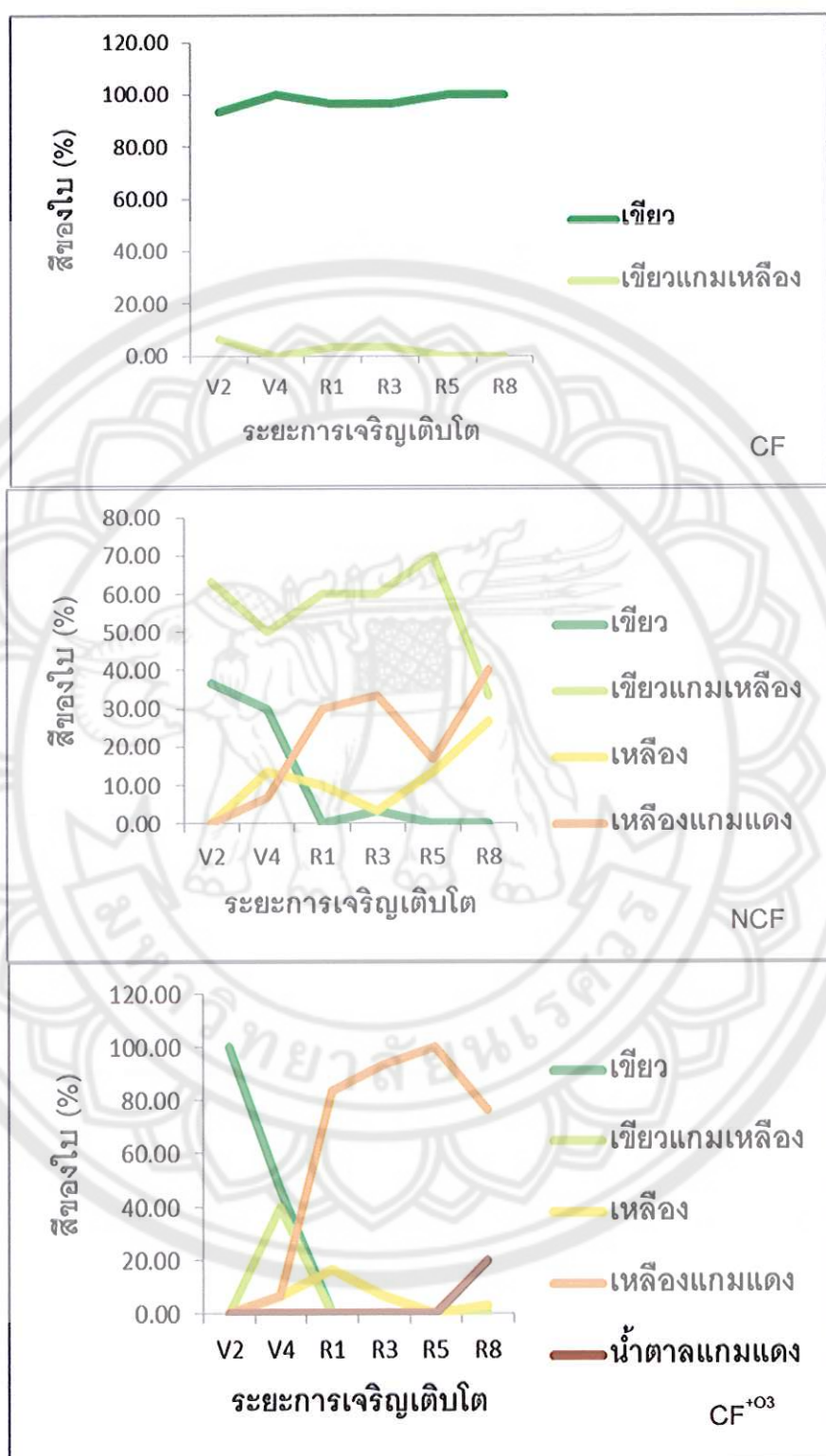
ภาพ 22 ระดับสีของใบถั่วเหลืองที่ได้รับผลกระทบของไอโซน

ที่มา: ตัดแปลงจาก Mikkelsen and Jorgensen, 1996

ตาราง 12 สิของใบถั่วเหลืองเมื่อไดร์บโคลินที่ความเข้มข้นต่างกัน

ระยะการเจริญเติบโต	ระดับความเข้มข้นของโอลิโนน	สิของใบ (เปอร์เซ็นต์)					น้ำตาล
		เขียว	เขียวแกม	เหลือง	เหลืองแกม	แกมแดง	
V2	CF	93.33	6.67	0	0	0	0
	NCF	36.67	63.33	0	0	0	0
	CF ⁺⁰³	100	0	0	0	0	0
V4	CF	100	0	0	0	0	0
	NCF	30	50	13.33	6.67	0	0
	CF ⁺⁰³	46.67	40	6.67	6.67	0	0
R1	CF	96.67	3.33	0	0	0	0
	NCF	0	60	10	30	0	0
	CF ⁺⁰³	0	0	16.67	83.33	0	0
R3	CF	96.67	3.33	0	0	0	0
	NCF	3.33	60	3.33	33.33	0	0
	CF ⁺⁰³	0	0	6.67	93.33	0	0
R5	CF	100	0	0	0	0	0
	NCF	0	70	13.33	16.67	0	0
	CF ⁺⁰³	0	0	0	100	0	0
R8	CF	100	0	0	0	0	0
	NCF	0	33.33	26.67	40	0	0
	CF ⁺⁰³	0	0	3.33	76.67	20	0

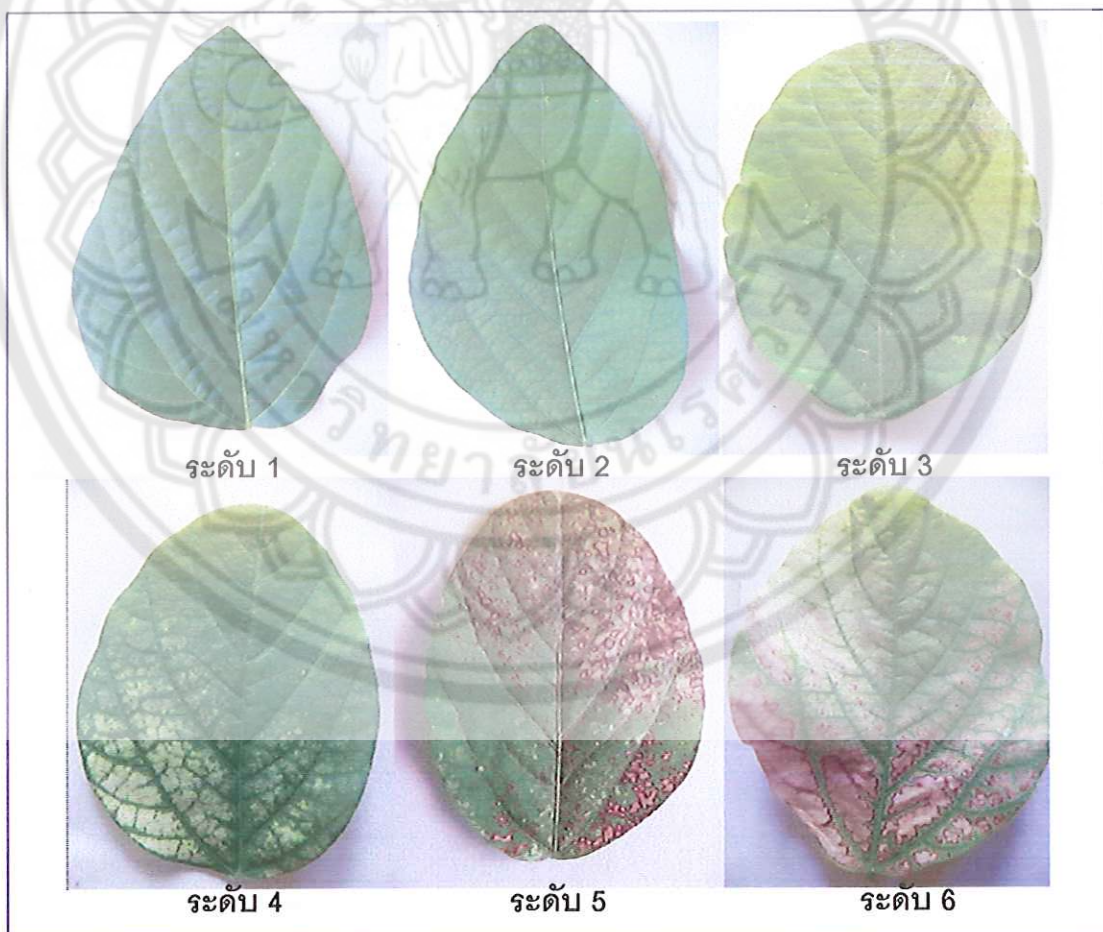
หมายเหตุ: ค่าเปอร์เซ็นต์สิของใบที่มากที่สุดในแต่ละความเข้มข้นของโอลิโนน



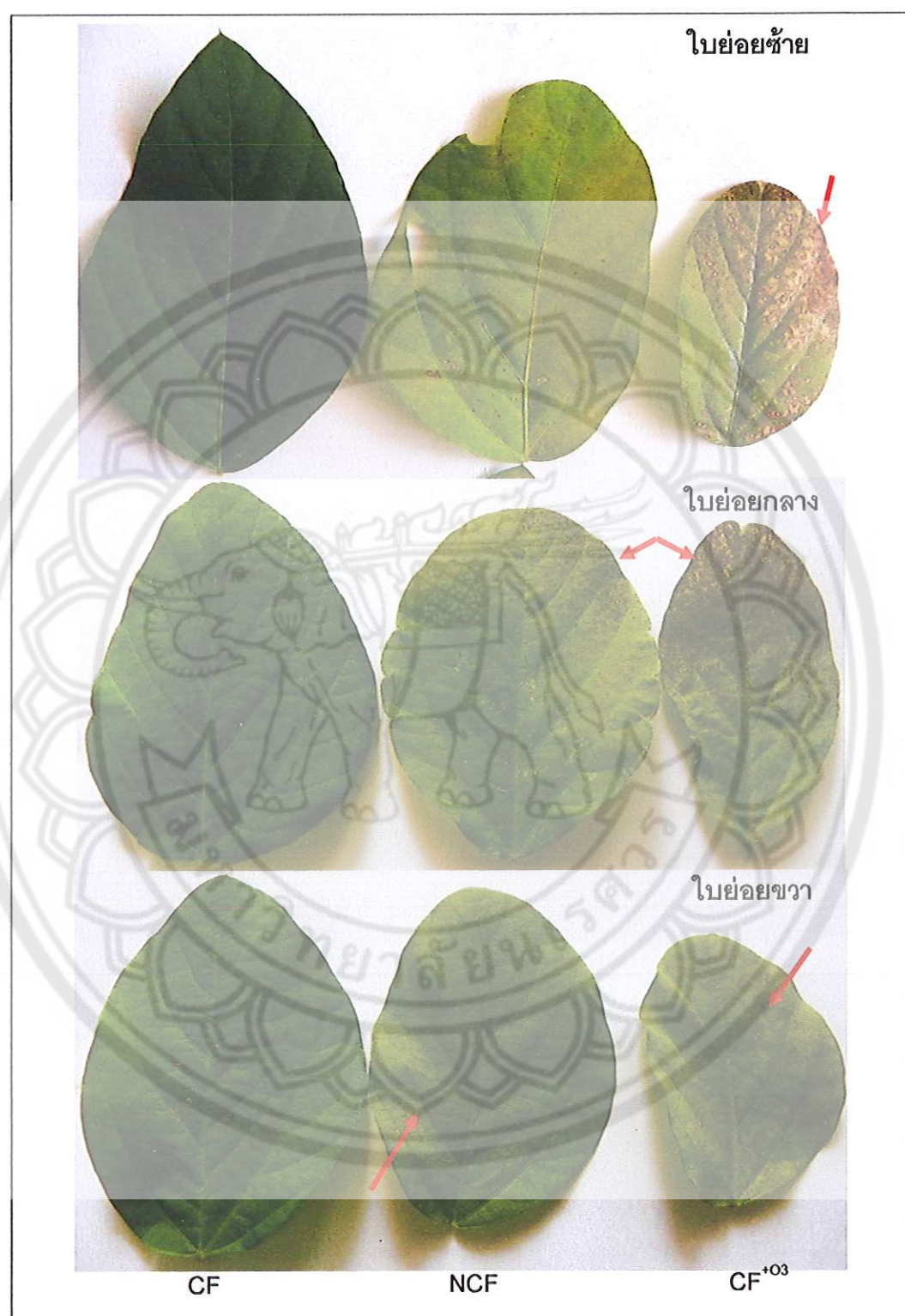
ภาพ 23 แนวโน้มการเปลี่ยนสีของในถัวเหลือง

3. ความเสียหายของใบ (Leaf symptom)

ใบถั่วเหลืองที่ได้รับความเสียหายจากโขไซนแสดงดังภาพ 25 เมื่อทำการเก็บตัวอย่างในทั้ง 30 ใบ และแบ่งระดับความเสียหายจากโขไซนได้ 6 ระดับตามวิธีของ Vollenweider and Goerg (2005) ดังนี้ คือ 1 (0%), 2 (1-6%), 3 (7-25%), 4 (26-50%), 5 (51-75%) และ 6 (>75%) (ภาพ 24) และ hac'a เปอร์เซ็นต์ความเสียหายของใบถั่วเหลืองที่ได้รับผลกระทบจากโขไซน (ตาราง 13) พบว่า ในของถั่วเหลืองที่ได้รับผลกระทบจากโขไซนในระยะเริ่มออกดอกจนถึงระยะเริ่มเก็บเกี่ยว มีแนวโน้มความเสียหายของใบเพิ่มขึ้น คือ ในชุดทดลองที่ความเข้มข้นโขไซนต่ำกว่า ธรรมชาติ ในของถั่วเหลืองไม่ปรากฏความเสียหาย ชุดทดลองที่ความเข้มข้นโขไซนเทียบเท่าธรรมชาติ ในของถั่วเหลืองมีความเสียหาย 50% และ ในชุดทดลองที่ความเข้มข้นโขไซนสูงกว่าธรรมชาติ ในของถั่วเหลืองมีความเสียหายมากกว่า 75% (ภาพ 26)



ภาพที่ 24 ระดับความเสียหายของใบถั่วเหลือง

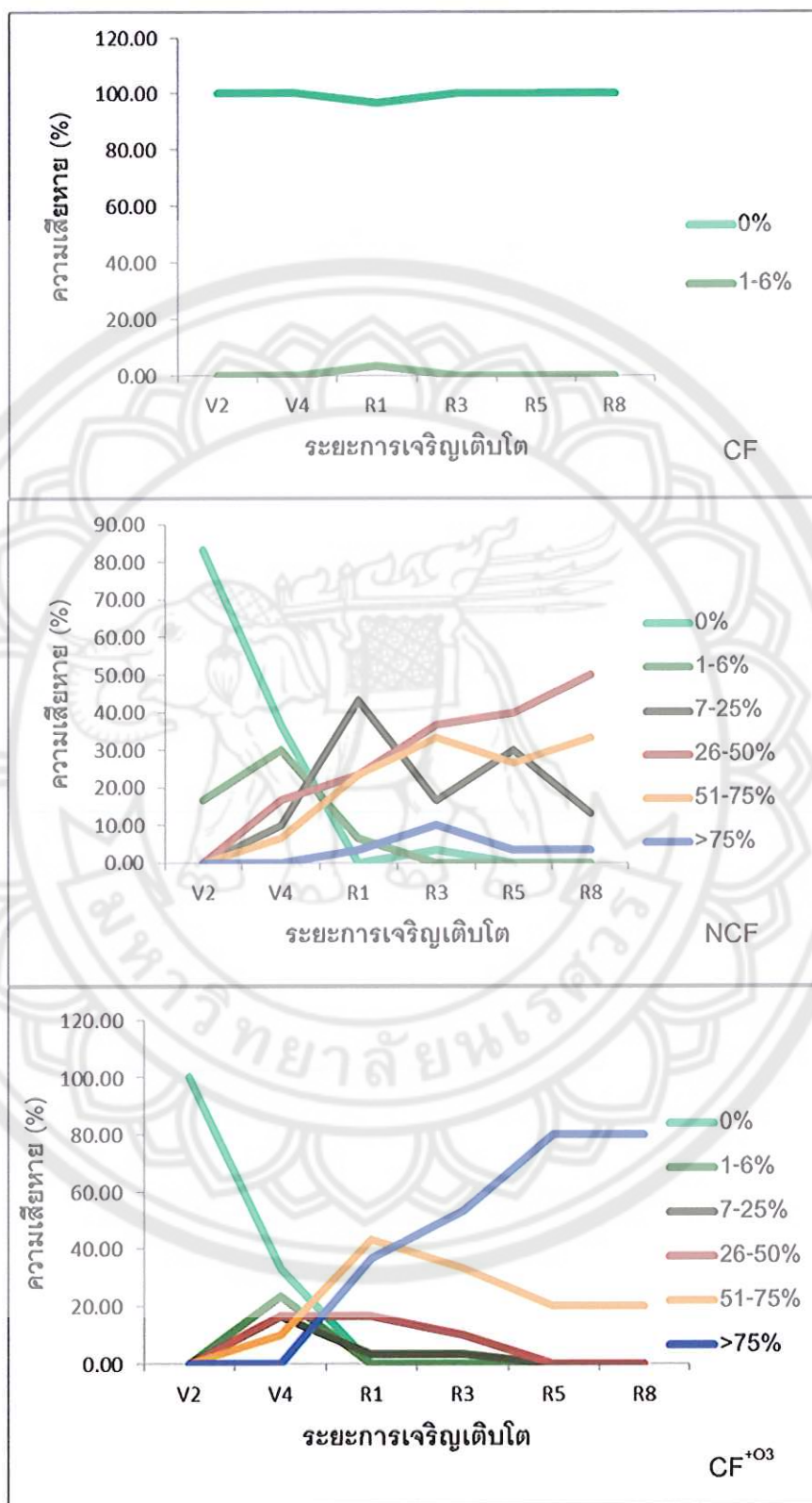


ภาพ 25 ลักษณะของใบที่เกิดความเสียหาย (ลูกศรชี้) จากโอดีเซนท์ระยะเริ่มติดฝัก (R3)

ตาราง 13 จำนวนใบถั่วเหลืองที่ได้รับความเสียหายเมื่อได้รับโภชนาทีความเข้มข้นต่างกัน

ระยะการเจริญเติบโต	ระดับความเข้มข้นของโภชนา	จำนวนใบที่ได้รับความเสียหาย (เปอร์เซ็นต์)					
		1	2	3	4	5	6
V2	CF	100	0	0	0	0	0
	NCF	83.33	16.67	0	0	0	0
	CF ⁺⁰³	100	0	0	0	0	0
V4	CF	100	0	0	0	0	0
	NCF	36.67	30	10	16.67	6.67	0
	CF ⁺⁰³	33.33	23.33	16.67	16.67	10	0
R1	CF	96.67	3.33	0	0	0	0
	NCF	0	6.67	43.33	23.33	23.33	3.33
	CF ⁺⁰³	0	0	3.33	16.67	43.33	36.67
R3	CF	100	0	0	0	0	0
	NCF	3.33	0	16.67	36.67	33.33	10
	CF ⁺⁰³	0	0	3.33	10	33.33	53.33
R5	CF	100	0	0	0	0	0
	NCF	0	0	30	40	26.67	3.33
	CF ⁺⁰³	0	0	0	0	20	80
R8	CF	100	0	0	0	0	0
	NCF	0	0	13.33	50	33.33	3.33
	CF ⁺⁰³	0	0	0	0	20	80

หมายเหตุ: ค่าเปอร์เซ็นต์ความเสียหายของใบที่มากที่สุดในแต่ละความเข้มข้นของโภชนา



ภาพ 26 แนวโน้มความเสียหายของใบถั่วเหลือง

ผลกระทบของโอดีโนต่อกายวิภาคของใบตัวเหลือง

1. ความหนาของชั้นแพลิเซดเมโซฟิลล์ (Palisade mesophyll layer width)

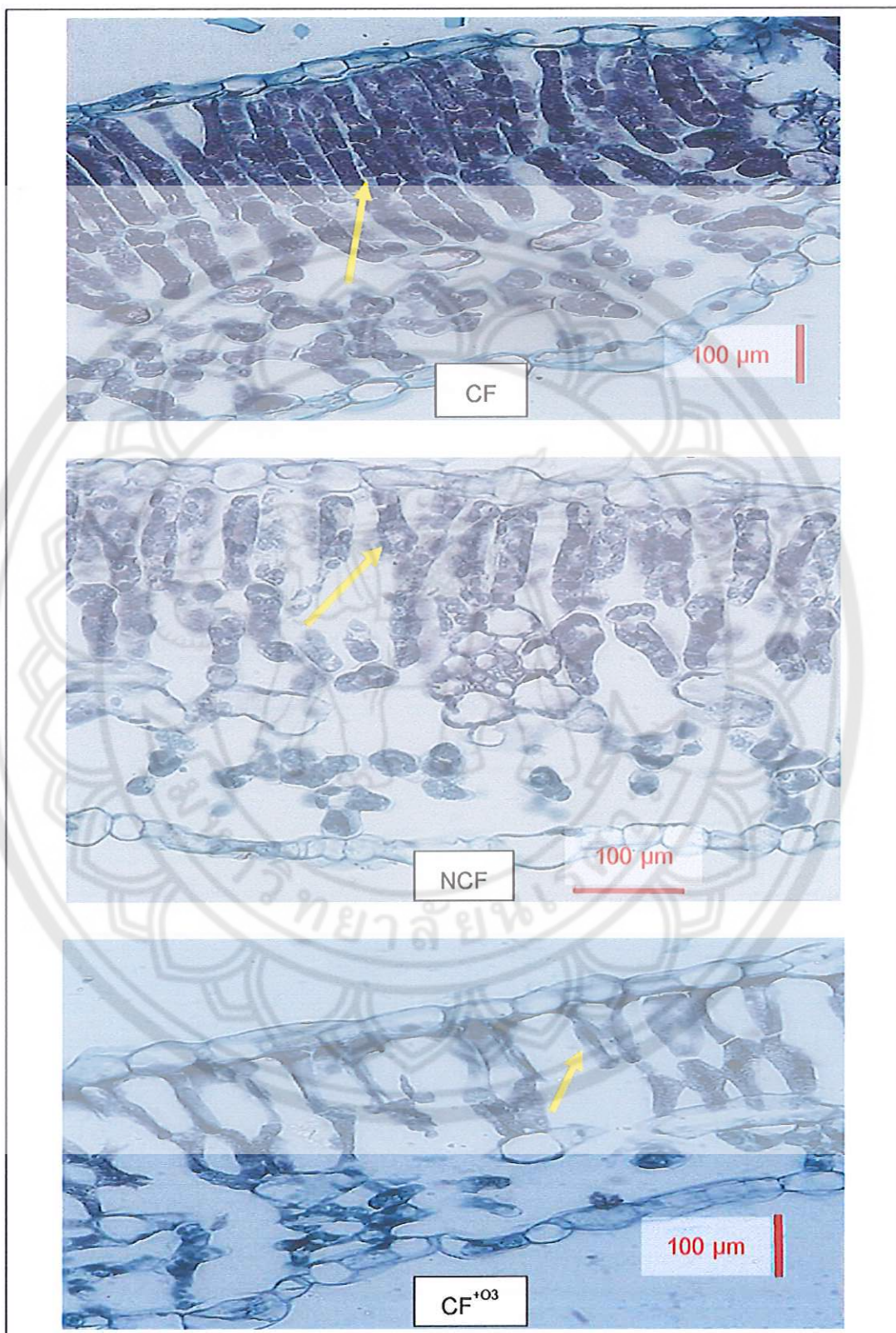
ค่าความหนาชั้นแพลิเซดเมโซฟิลล์ของตัวเหลืองพันธุ์เชียงใหม่ 60 ที่ตอบสนองต่อความเข้มข้นของโอดีโนที่สูงกว่าธรรมชาติ (ตาราง 14) พบว่า ในระยะเริ่มติดฝักจนถึงระยะเริ่มเก็บเกี่ยว มีค่าลดลง 3.80%, 21.09% และ 38.34% ตามลำดับ เมื่อเปรียบเทียบกับชุดควบคุม โดยชั้นแพลิเซดเมโซฟิลล์ เกิดความเสียหายโดยมีความหนาแน่นของเซลล์และคลอโรพลาสต์ลดลง ผนังเซลล์ยุบตัวหรือเหี่ยวง พบร่องว่างระหว่างเซลล์มากขึ้น (ภาพ 27) ในทางกลับกันเมื่อเปรียบเทียบกับชุดทดลองที่ความเข้มข้นโอดีโนต่ำกว่าธรรมชาติ เชลล์แพลิเซดเมโซฟิลล์มีจำนวนและความหนาแน่นมากขึ้น เซลล์เต่งไม่ยุบตัว คลอโรพลาสต์เพิ่มขึ้น สอดคล้องกับปริมาณคลอโรพิลล์ที่เพิ่มขึ้น เมื่อเปรียบเทียบกับชุดควบคุม

ตาราง 14 ความหนาเฉลี่ยชั้นแพลิเซดเมโซฟิลล์ของตัวเหลืองพันธุ์เชียงใหม่ 60

ระยะการเจริญเติบโต	ความหนาเฉลี่ยชั้นแพลิเซดเมโซฟิลล์ (ไมโครเมตร)			การลดลงและเพิ่มขึ้นของความหนาเฉลี่ยชั้นแพลิเซดเมโซฟิลล์ เมื่อเทียบกับชุดควบคุม (เปอร์เซ็นต์)	
	CF	NCF	CF ⁺⁰³	CF	CF ⁺⁰³
V2	25.64 \pm 3.44 ^a	27.80 \pm 2.09 ^a	28.19 \pm 2.83 ^a	- 7.77	+ 1.40
V4	12.94 \pm 1.35 ^c	26.90 \pm 1.83 ^b	30.38 \pm 4.38 ^a	- 51.90	+ 12.94
R1	29.36 \pm 3.17 ^{ab}	27.27 \pm 2.76 ^b	30.76 \pm 2.71 ^a	+ 5.73	+ 10.77
R3	24.11 \pm 2.80 ^a	26.80 \pm 3.67 ^a	25.82 \pm 6.98 ^a	- 10.04	- 3.80
R5	25.56 \pm 1.93 ^b	29.16 \pm 2.02 ^a	23.01 \pm 4.03 ^b	- 12.35	- 21.09
R8	43.49 \pm 18.53 ^a	30.91 \pm 1.87 ^b	19.06 \pm 4.08 ^c	+ 40.70	- 38.34

หมายเหตุ: ตัวอักษร a - c แสดงค่าเฉลี่ยที่มีความแตกต่างกันอย่างมีนัยสำคัญทางสถิติ $P \leq 0.05$

+ ค่าเฉลี่ยเพิ่มขึ้น, - ค่าเฉลี่ยลดลง



ภาพ 27 แพลเซดมีโซฟิลล์กำลังขยาย 20 เท่า (ลูกศรี) ที่ระยะเริ่มติดเมล็ด

2. ความหนาของชั้นสปันจีมิโซฟิลล์ (Spongy mesophyll layer width)

เมื่อพิจารณาค่าจากตาราง 15 พบว่า ความหนาเฉลี่ยของชั้นสปันจีมิโซฟิลล์เพิ่มขึ้น เมื่อได้รับโอโซนที่ความเข้มข้นสูงกว่าธรรมชาติ มีค่าเฉลี่ยเพิ่มขึ้น 8.1 ไมโครเมตร และ 7.6 ไมโครเมตร ในระยะเริ่มออกดอกและติดเมล็ดตามลำดับ เมื่อเปรียบเทียบกับใบที่ได้รับความเข้มข้นโอโซนต่ำกว่าธรรมชาติ ผลกระทบจากโอโซนที่เกิดกับเซลล์สปันจีมิโซฟิลล์ เห็นผลได้ไม่ชัดเจนนัก เนื่องจากเซลล์มีจำนวนที่น้อยกว่าแพลีเซมิโซฟิลล์ และอยู่บริเวณด้านล่างของผิวใบจึงสัมผัสกับโอโซนได้น้อยกว่า

ตาราง 15 ความหนาเฉลี่ยชั้นสปันจีมิโซฟิลล์ของถั่วเหลืองพันธุ์เชียงใหม่ 60

ระยะการเจริญเติบโต	ความหนาเฉลี่ยชั้นสปันจีมิโซฟิลล์ (ไมโครเมตร)			การลดลงและเพิ่มขึ้น ของความหนาเฉลี่ย ชั้นสปันจีมิโซฟิลล์ เมื่อ ^a เทียบกับชุดควบคุม (เปอร์เซ็นต์)	
	CF	NCF	CF ⁺⁰³	CF	CF ⁺⁰³
V2	24.42 \pm 2.78 ^c	30.46 \pm 2.98 ^b	33.58 \pm 4.09 ^a	- 19.83	+ 10.24
V4	15.56 \pm 2.35 ^b	31.12 \pm 2.93 ^a	32.16 \pm 4.39 ^a	- 50.00	+ 3.34
R1	25.90 \pm 6.52 ^b	30.54 \pm 3.33 ^a	31.65 \pm 4.33 ^a	- 15.19	+ 3.63
R3	25.70 \pm 5.07 ^b	29.81 \pm 4.45 ^a	33.31 \pm 4.79 ^a	- 13.79	+ 11.74
R5	33.79 \pm 3.71 ^a	31.71 \pm 4.55 ^a	29.22 \pm 3.16 ^c	+ 6.56	- 7.85
R8	44.91 \pm 17.06 ^a	29.22 \pm 3.16 ^b	31.59 \pm 5.52 ^b	+ 53.70	+ 8.11

หมายเหตุ: ตัวอักษร a - c แสดงค่าเฉลี่ยที่มีความแตกต่างกันอย่างมีนัยสำคัญทางสถิติ $P \leq 0.05$
+ ค่าเฉลี่ยเพิ่มขึ้น, - ค่าเฉลี่ยลดลง

3. พื้นที่ซ่องว่างทั้งหมดภายในใบ (Total leaf airspace)

ค่าเฉลี่ยพื้นที่ซ่องว่างทั้งหมดภายในใบของถั่วเหลืองพันธุ์เชียงใหม่ 60 ที่ตอบสนองต่อโโคโซน พบว่า ในชุดทดลองที่ความเข้มข้นโโคโซนสูงกว่าธรรมชาติ มีค่าเพิ่มขึ้น ตั้งแต่ระยะที่มีใบประกอบสี่ใบจนถึงระยะเริ่มติดฝักเท่ากับ 48.92%, 16.52% และ 19.76% ตามลำดับ เมื่อเปรียบเทียบกับชุดควบคุม (ตาราง 16) พื้นที่ซ่องว่างทั้งหมดภายในใบที่เพิ่มขึ้น เกิดจากการบุบตัวและมีการทำลายเซลล์แพล็คเก็ต ทำให้เกิดช่องว่างภายในเนื้อเยื่อมากขึ้น และยิ่งเพิ่มความสามารถในการซึมผ่านของโโคโซนให้เข้าไปในทำลายเนื้อเยื่อของใบมากขึ้น

ตาราง 16 พื้นที่ซ่องว่างทั้งหมดภายในใบเฉลี่ยของถั่วเหลืองพันธุ์เชียงใหม่ 60

ระยะการเจริญเติบโต	พื้นที่ซ่องว่างทั้งหมดภายในใบ (ตารางไมโครเมตร; 10^3)			การลดลงและเพิ่มขึ้น ของพื้นที่ซ่องว่าง ทั้งหมดภายในใบ เฉลี่ยเมื่อเทียบกับชุด ควบคุม (เปอร์เซ็นต์)		
	CF	NCF	CF^{+03}	CF	CF^{+03}	
V2	19.07 ± 3.92^b	24.83 ± 5.09^a	24.69 ± 3.30^a	- 23.19	- 0.56	
V4	10.82 ± 3.24^c	25.88 ± 5.36^b	38.53 ± 12.82^a	- 58.16	+ 48.92	
R1	26.29 ± 4.69^a	26.48 ± 5.56^a	30.85 ± 5.36^a	- 0.71	+ 16.52	
R3	18.59 ± 6.34^b	29.70 ± 8.51^a	35.57 ± 7.94^a	- 37.41	+ 19.76	
R5	25.18 ± 7.80^b	33.87 ± 10.50^a	35.17 ± 9.69^a	- 25.67	- 3.85	
R8	37.71 ± 19.69^a	43.79 ± 8.99^a	36.69 ± 6.82^a	- 13.88	- 16.21	

หมายเหตุ: ตัวอักษร a - c แสดงค่าเฉลี่ยที่มีความแตกต่างกันอย่างมีนัยสำคัญทางสถิติ $P \leq 0.05$
+ ค่าเฉลี่ยเพิ่มขึ้น, - ค่าเฉลี่ยลดลง

4. ความหนาของใบ (Total leaf width)

จากค่าเฉลี่ยความหนาของใบดังตาราง 17 พบร้า ในชุดทดลองที่ความเข้มข้นโคลนสูงกว่าธรรมชาติ มีค่าลดลง 26.28% และ 17.98% เมื่อเปรียบเทียบกับชุดควบคุม ในระยะเริ่มติดเมล็ดจนถึงระยะเริ่มเก็บเกี่ยว ซึ่งความหนาของใบ สามารถบ่งบอกได้ว่าเนื้อเยื่อมีการตาย ทำให้เกิดการบุบตัวของเนื้อเยื่อ เนื่องจากได้รับความเข้มข้นโคลนสะสม รวมทั้งเป็นระยะที่การซ้อมเหงมของเนื้อเยื่อลดลง เนื้อเยื่อจะเริ่มเสื่อมสภาพและสูญเสียการทำงาน

ตาราง 17 ความหนาเฉลี่ยของใบตัวเหลืองพันธุ์เชียงใหม่ 60

ระยะการเจริญเติบโต	ความหนาเฉลี่ยของใบ (เมตร)			การลดลงและเพิ่มขึ้น ของความหนาเฉลี่ย ของใบเมื่อเทียบกับ ชุดควบคุม (เปอร์เซ็นต์)	
	CF	NCF	CF^{+03}	CF	CF^{-03}
V2	256.86 ± 33.00^c	477.65 ± 29.63^b	396.47 ± 74.71^a	- 45.81	- 17.00
V4	247.19 ± 18.03^b	494.86 ± 48.34^a	470.95 ± 91.36^a	- 50.05	- 4.83
R1	375.03 ± 39.22^b	496.35 ± 33.82^a	404.55 ± 44.92^b	- 33.13	- 18.50
R3	331.92 ± 79.48^b	386.34 ± 41.87^a	390.36 ± 43.78^a	- 14.09	+ 1.04
R5	515.81 ± 39.96^a	479.06 ± 43.66^b	353.18 ± 35.07^c	+ 7.67	- 26.28
R8	591.14 ± 199.62^a	455.68 ± 33.41^b	373.75 ± 42.51^c	+ 29.73	- 17.98

หมายเหตุ: ตัวอักษร a - c แสดงค่าเฉลี่ยที่มีความแตกต่างกันอย่างมีนัยสำคัญทางสถิติ $P \leq 0.05$

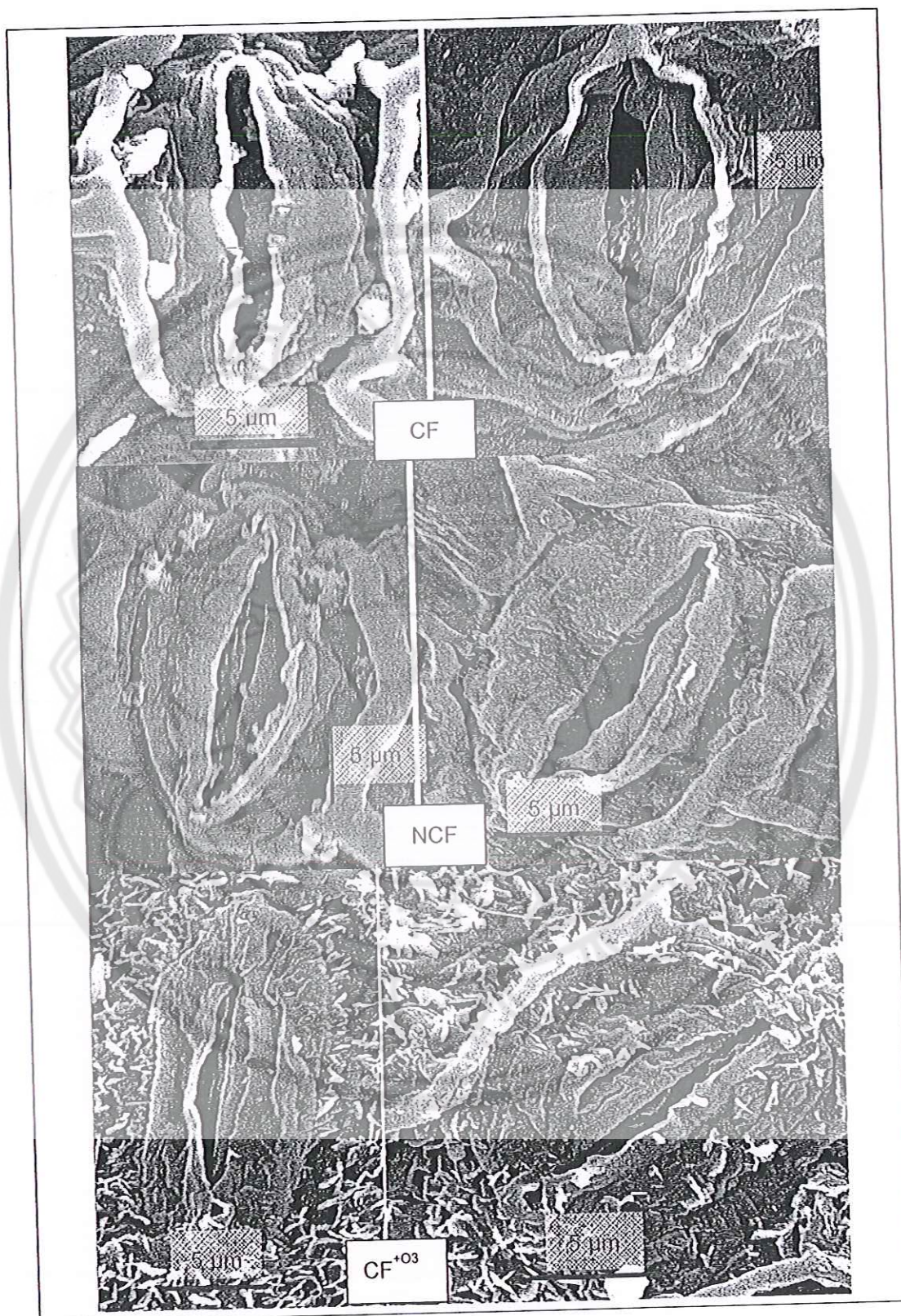
+ ค่าเฉลี่ยเพิ่มขึ้น, - ค่าเฉลี่ยลดลง

5. ปากและขนใบ (Stomata and trichomes)

เมื่อทำการถ่ายภาพ SEM ของปากใบและขนใบถัวเหลืองในระยะเริ่มติดเม็ด พบร่วมกับมีขนาดที่เล็กลง (มีการปิดของปากใบ) ในชุดทดลองที่ระดับโอดิโซนสูงกว่าธรรมชาติ (CF^{+03}) เซลล์คุ้ม (Guard cell) มีการยุบตัว และขนาดของขนใบ (trichomes) ยังคง พบร่วม ผิวใบด้านบน (upper epidermis) ลดลง 457.4 μm และผิวใบด้านล่าง (lower epidermis) ลดลง 394.4 μm รวมทั้งยังปรากฏผิวเคลือบคิวตินขึ้นที่บริเวณผิวใบ เนื่องจากพืชป้องกันตัวเองเพื่อลดการสูญเสียน้ำ และส่งผลต่อการสังเคราะห์แสง แสดงดังภาพ 28-29 และตาราง 18

ตาราง 18 ขนาดของขนและปากใบถัวเหลืองพันธุ์เชียงใหม่ 60

ความเข้มข้น		ปากใบ (ไมโครเมตร)		ขนใบ (ไมโครเมตร)
	ของโอดิโซน	ความยาว	ความกว้าง	ความยาว
ต่ำกว่า	ผิวใบด้านบน	462.0	237.0	1364.6
ธรรมชาติ	ผิวใบด้านล่าง	402.0	81.0	1420.9
เทียบเท่า	ผิวใบด้านบน	460.3	154.6	1231.9
ธรรมชาติ	ผิวใบด้านล่าง	494.6	126.3	1223.3
สูงกว่า	ผิวใบด้านบน	436.9	96.2	907.2
ธรรมชาติ	ผิวใบด้านล่าง	515.4	73.4	1026.5



ภาพ 28 ลักษณะของปากใบที่ได้รับการพ่นโอโซนที่ระยะเริ่มติดเมล็ด
ผิวใบด้านบน (ซ้าย) ผิวใบด้านล่าง (ขวา)



ภาพ 29 ผิวเคลือบคิวตินเมื่อได้รับการพ่นโอลูชันที่ระยะเริ่มติดเมล็ด
ผิวใบด้านบน (บน) ผิวใบด้านล่าง (ล่าง)